

**ĐỊNH LOẠI LOÀI TẢO *PROROCENTRUM SP.* PHÂN LẬP ĐƯỢC
Ở THÀNH PHỐ HẢI PHÒNG DỰA VÀO TRÌNH TỰ NUCLEOTIT
CỦA CÁC ĐOẠN GIEN 18S rDNA VÀ ITS1-5,8S-ITS2**

ĐẶNG DIỄM HỒNG, HOÀNG MINH HIỀN, HOÀNG LAN ANH

Viện Công nghệ sinh học

CHU VĂN THUỘC

Viện Tài nguyên và Môi trường biển

Chi *Prorocentrum* thuộc ngành Dinoflagellatae bao gồm 31 loài tảo biển với cấu trúc tế bào rất giống nhau [9]. Người ta thấy chúng có mặt ở những nơi xuất hiện thuỷ triều đỏ hoặc có sự “nở hoa” của cả tảo độc và không độc. Độc tố DSP (Diarrhetic shellfish poisoning) có trong các loài tảo giáp sống trôi nổi hoặc sống đáy, hầu hết thuộc chi *Dinophysis* hoặc chi *Prorocentrum*, gây ảnh hưởng đến hệ tiêu hóa của người. Hiện tượng “nở hoa” của các loài tảo này trên biển và ở các thủy vực thường kéo theo sự nhiễm độc cho các loài hải sản và con người khi ăn phải chúng. Do vậy, việc phát hiện và ngăn chặn sự nở hoa của tảo độc là rất cần thiết và có ý nghĩa thực tiễn to lớn trong việc giảm thiểu những tác động xấu của chúng tới môi trường, đặc biệt là đối với công việc nuôi trồng hải sản và bảo đảm an toàn thực phẩm [6, 9]. Các nghiên cứu về sự “nở hoa” của tảo độc bao gồm việc xác định và thống kê các loài tảo gây độc và hại, sự phân bố của chúng trong không gian, thời gian và các yếu tố môi trường liên quan đến hiện tượng bùng phát số lượng tảo độc [1] và các biện pháp phòng ngừa giảm thiểu tác hại của chúng. Phương pháp phân loại truyền thống dựa trên các đặc điểm hình thái có vai trò quan trọng trong việc xác định các loài tảo, tuy nhiên, có rất nhiều khó khăn khi gấp những loài có khả năng biến đổi hình thái để thích ứng trong những điều kiện sống khác nhau hoặc những loài rất giống nhau về mặt hình thái và những biến thái này của chúng lại rất khó phân biệt dưới kính hiển vi [6, 7]. Hiện nay, bên

cạnh các phương pháp phân loại truyền thống, các kỹ thuật sinh học phân tử đã được sử dụng nhằm góp phần phân loại một cách chính xác hơn các loài tảo.

Trong bài báo này, chúng tôi trình bày các kết quả bước đầu phân loại loài tảo *Prorocentrum sp.* thu được tại thành phố Hải Phòng bằng phương pháp dựa vào các đặc điểm hình thái kết hợp với so sánh trình tự nucleotit của các đoạn gien 18S rDNA, ITS1-5,8S-ITS2. Trên cơ sở các kết quả thu được, tên và mối quan hệ về phát sinh chủng loại giữa loài mà chúng tôi phân lập được với các loài *Prorocentrum spp.* khác đã được công bố tại Ngân hàng gien thế giới GENE BANK.

I. PHƯƠNG PHÁP NGHIÊN CỨU

1. Vật liệu

- Vật mẫu *Prorocentrum sp.* được phân lập ở Đồ Sơn, thành phố Hải Phòng do Viện Tài nguyên và Môi trường biển cung cấp. Độ thuần khiết theo tiêu chuẩn hình thái của tảo được kiểm tra dưới kính hiển vi laser quét Axiovert 100M của hãng Carl Zeiss.

- Các trình tự của các đoạn gien 18S rDNA và ITS1-5,8S-ITS2 của 10 loài *Prorocentrum* đã được công bố tại Ngân hàng gien GENE BANK (bảng 1) đã được sử dụng.

- Vectơ pCR^R2.1, chủng vi khuẩn *E.coli*

Công trình được sự hỗ trợ của Chương trình khoa học KC.09.19 và Chương trình điều tra nghiên cứu ứng dụng công nghệ biển.

DH5 α và các hóa chất chuẩn của hãng Invitrogen.

2. Phương pháp

- Tách chiết DNA tổng số của *Prorocentrum* sp. theo phương pháp đã công bố [5].

- Các đoạn gien 18S rDNA và ITS1-5,8S-ITS2 được nhân bằng kỹ thuật PCR từ DNA tổng số với các cặp mồi đặc hiệu: 18S-F (5'-GAGAGGG-AGCCTGAGAACG-3') và 18S-R (5'-GGCAT-CACAGACCTGTTATTGC-3'), ITS-F (5'-TCCG-TAGGTGAACCTGCGG-3') và ITS-R (5'-CGA-CGCAAGAAGTAGACTCG-3').

- Điều kiện và thành phần của phản ứng PCR

theo như công bố [4, 5].

- Quá trình tách dòng các đoạn gien nhân được, được tiến hành theo công bố [4, 5, 8].

- Trình tự nucleotit của các đoạn gien 18S rDNA và ITS1-5,8S-ITS2 ở mẫu nghiên cứu được thực hiện trên máy đọc trình tự tự động ABI PRISM®3100-Avant Genetic Analyzer (ABI, Mỹ) của Viện Công nghệ sinh học.

- Dựa trên chương trình Clustal X Multiple Sequence Alignment Program (version 1.81, June 2000) và DNASTAR, chúng tôi xây dựng cây phát sinh chủng loại của loài *Prorocentrum* sp. thu thập tại Hải Phòng với trình tự của các loài *Prorocentrum* có sẵn tại GENE BANK.

Bảng 1

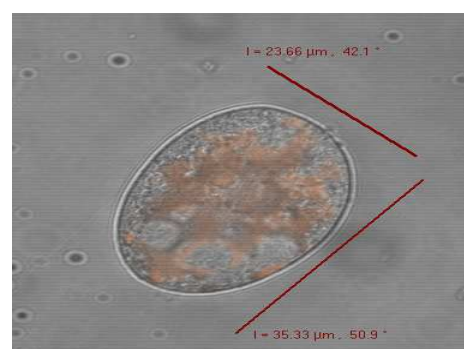
Các loài *Prorocentrum* có trình tự của các đoạn gien 18S rDNA và ITS1-5,8S-ITS2 được sử dụng để phân tích sự đa dạng di truyền

STT	Tên khoa học	Số hiệu taxon (TaxID)	Mã số GENE BANK	Gien mã hóa
1	<i>Prorocentrum lima</i> (Ehrenberg) Dodge 1975	39448	Y16235	18S rDNA
2	<i>P. arenarium</i> Faust 1994	72679	Y16234	18S rDNA
3	<i>P. maculosum</i> Faust 1993	72680	Y16236	18S rDNA
4	<i>P. concavum</i> Fukuyo 1981	72681	Y16237	18S rDNA
5	<i>P. panamensis</i> sp. nov.	72678	Y16233	18S rDNA
6	<i>P. micans</i> Ehrenberg 1834	2945	AJ415519	18S rDNA
7	<i>P. minimum</i> var. <i>triangulatum</i> Hulbert 1959	39449	AJ415520	18S rDNA
8	<i>P. minimum</i> (Pavillard) Schiller 1933	39449	Y16238	18S rDNA
9	<i>P. mexicanum</i> Osorio Tafall 1942	72677	Y16232	18S rDNA
10	<i>P. emarginatum</i> Fukuyo 1981	72682	Y16239	18S rDNA
11	<i>P. micans</i> Ehrenberg 1834	2945	AF208245	ITS1-5,8S-ITS2
12	<i>P. minimum</i> (Pavillard) Schiller 1933	39449	AF352370	ITS1-5,8S-ITS2
13	<i>P. minimum</i> var. <i>triangulatum</i> Hulbert 1959	39449	AF208244	ITS1-5,8S-ITS2
14	<i>P. triestinum</i> Schiller 1918	39450	AF208246	ITS1-5,8S-ITS2
15	<i>P. minimum</i> var. <i>mariae-lebourae</i> Hulbert 1959	39449	AF352371	ITS1-5,8S-ITS2

II. KẾT QUẢ NGHIÊN CỨU

1. Mô tả hình thái của loài *Prorocentrum* sp. được phân lập tại Hải Phòng

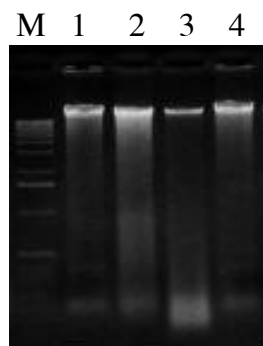
Dưới kính hiển vi lazer quét, *Prorocentrum* sp. là các đơn bào chuyển động; tế bào gần giống hình ovan, dài 32,58-35,33 μm , rộng 22,84-23,66 μm . Như vậy, dựa vào các đặc điểm hình thái, vật mẫu *Prorocentrum* sp. mà chúng tôi phân lập được tại Hải Phòng có thể được xếp vào loài *Prorocentrum mexicanum* Osorio Tafall 1942.



Hình 1. Hình thái tế bào của loài *Prorocentrum* sp. thu tại Hải Phòng dưới kính hiển vi lazer quét.

2. Tách chiết DNA tổng số

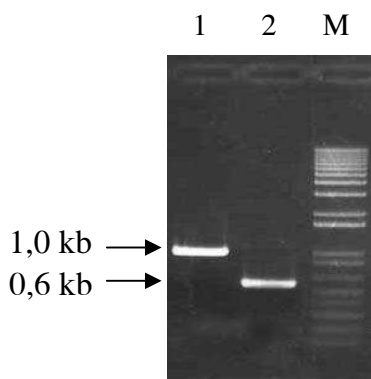
Kết quả tách DNA tổng số của *Prorocentrum* sp. được trình bày trên hình 2 cho thấy DNA có chất lượng tốt, không bị đứt gãy, phù hợp để làm nguyên liệu cho các nghiên cứu tiếp theo.



Hình 2. Ảnh điện di kiểm tra DNA của *Prorocentrum* sp.

Giếng 1: mack 1Kb; giếng 1-4: mẫu DNA tách từ *Prorocentrum* sp.

3. Nhận các đoạn gien 18S rDNA và ITS1-5,8S-ITS2 bằng kỹ thuật PCR



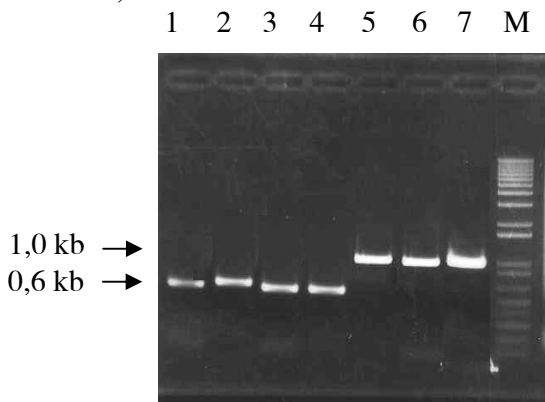
Hình 3. Điện di sản phẩm PCR của loài *Prorocentrum* sp.

Cột M: thang chuẩn của DNA có kích thước 1 kb; cột 1: sản phẩm PCR với cặp mồi 18S F-R; cột 2: sản phẩm PCR với cặp mồi ITS F-R.

Để phân lập và tách dòng một phần của các đoạn gien 18S rDNA và ITS1-5,8S-ITS2 của *Prorocentrum* sp., chúng tôi đã thiết kế các cặp mồi đặc hiệu 18S F-R và ITS F-R dựa vào trình tự nucleotit của các đoạn gien 18S rDNA và ITS1-5,8S-ITS2 của chi *Prorocentrum* đã được công bố tại Ngân hàng gien quốc tế (GENEBANK). Trong đó, theo tính toán lý thuyết, sản phẩm PCR sẽ có kích thước khoảng

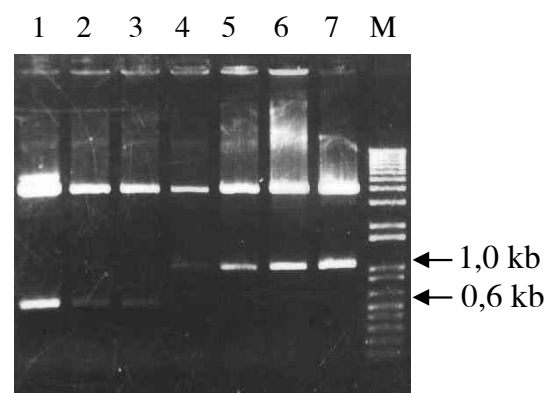
1,0 kb đối với cặp mồi 18S F-R và 0,6 kb với cặp mồi ITS F-R. Sản phẩm PCR của *Prorocentrum* sp. với hai cặp mồi nói trên được chỉ ra trên hình 3. Kết quả cho thấy chúng tôi đã nhận được các đoạn gien 18S rDNA và ITS1-5,8S-ITS2 có kích thước tương ứng khoảng 1,0 kp và 0,6 kp. Kích thước của các sản phẩm PCR mà chúng tôi thu được phù hợp với khoảng cách giữa hai mồi và kích thước theo tính toán lý thuyết.

4. Tách dòng các đoạn gien 18S rDNA và ITS1-5,8S-ITS2



Hình 4. Điện di sản phẩm PCR kiểm tra các đoạn gien 18S rDNA và ITS1-5,8S-ITS2 với cặp mồi 18S R-F và ITS F-R đã được gắn vào vectơ tách dòng pCR^R2.1.

Cột M: thang chuẩn của DNA có kích thước 1 kb; cột 1-4: các dòng tế bào mang vectơ tái tổ hợp gắn đoạn gien 18S rDNA; cột 5-7: các dòng tế bào mang vectơ tái tổ hợp gắn đoạn gien ITS1-5,8S-ITS2.



Hình 5. Phân tích enzym giới hạn các plasmid tái tổ hợp mang các đoạn gien 18S rDNA và ITS1-5,8S-ITS2.

Cột M: thang chuẩn DNA có kích thước 1 kb; cột 1-3: vectơ pCR^R2.1 đã gắn sản phẩm PCR của đoạn gien 18S rDNA; cột 4-7: vectơ pCR^R2.1 đã gắn sản phẩm PCR của đoạn gien ITS1-5,8S-ITS2.

Các đoạn gien nhận được đã được tiến hành tách dòng, xác định trình tự theo các công bố [3, 4, 7]. Để khẳng định có phải là vectơ tái tổ hợp mang các đoạn gien 18S rDNA và ITS1-5,8S-ITS2 mong muốn không, chúng tôi tiến hành phản ứng PCR-checking các khuôn lắc trắng với hai cặp mồi 18S F-R và ITS F-R (hình 4) và cắt DNA plasmit tái tổ hợp với enzym giới hạn *Eco*RI (hình 5). Kết quả trên các hình 4, 5 thu được đã chứng tỏ rằng các đoạn gien mà chúng tôi mong muốn đã được gắn thành công vào vectơ tách dòng pCR^R2.1. Tiếp theo, các dòng plasmit tái tổ hợp nói trên được tách chiết và tinh sạch một lượng lớn để đọc trình tự.

5. So sánh trình tự nucleotit của các đoạn gien 18S rDNA và ITS1-5,8S-ITS2 của các loài *Prorocentrum*

Chúng tôi đã tiến hành so sánh các trình tự thu được của *Prorocentrum* sp. với 10 trình tự của đoạn gien 18S rDNA của 9 loài *Prorocentrum* khác (hình 6) và với 5 trình tự của đoạn gien ITS1-5,8S-ITS2 của 3 loài *Prorocentrum* khác đã được công bố tại Ngân hàng gien quốc tế (hình 7). Kết quả ở các hình 6 và 7 cho thấy có sự sai khác của các trình tự này giữa các loài *Prorocentrum* với nhau. Tỷ lệ phần trăm tương đồng của từng cặp trình tự của các loài *Prorocentrum* được thống kê dưới dạng ma

trận tam giác tại các bảng 2 và 3. Theo kết quả ở các bảng 2 và 3, chúng tôi thấy độ tương đồng của đoạn gien 18S rDNA giữa các loài *Prorocentrum* là từ 92-100% và của đoạn gien ITS1-5,8S-ITS2 là từ 77-99%. Như vậy, việc đọc và so sánh các trình tự của các đoạn gien 18S rDNA và ITS1-5,8S-ITS2 trong chi *Prorocentrum* là công cụ rất hữu hiệu để kiểm tra và xác định mối quan hệ phát sinh chủng loai trong cùng một loài và dưới loài ở những điều kiện địa lý, sinh thái khác nhau. Điều này được chỉ ra khi so sánh 2 nhóm *P. minimum* với nhau, độ tương đồng của đoạn gien 18S rDNA giữa hai nhóm *P. minimum* là 100% (bảng 2) nhưng với đoạn gien ITS1-5,8S-ITS2 là 99,3-99,5% (bảng 3). Cũng trên bảng 2, chúng ta nhận thấy rằng *Prorocentrum* sp. có độ tương đồng cao nhất, đạt đến 99,9% khi so sánh với *P. mexicanum* (Y16232), tiếp đó 99,8% với *P. micans* (AJ415519), 99,6% với *P. minimum* (AJ415520 và Y16238), 96,5% với *P. concavum* (Y16237), 96,4% với *P. panamensis* (Y16233), 95,6% với *P. emarginatum* (Y16239) và thấp nhất là 94,1% với *P. arenarium* (Y16234) và *P. maculosum* (Y16236). Kết hợp với các đặc điểm hình thái của *Prorocentrum* sp. miêu tả ở phần II.1 với kết quả phân tích trình tự của đoạn gien 18S rDNA trên đây, chúng tôi kết luận rằng *Prorocentrum* sp. thuộc loài *Prorocentrum mexicanum*.

AJ415520	GAGAGGGAGCCTGAGAACCGGCTACCACATCTAAGGAAGGCAGCAGGCGCGCAAATTACC
Y16238	GAGAGGGAGCCTGAGAACCGGCTACCACATCTAAGGAAGGCAGCAGGCGCGCAAATTACC
Y16232	GAGAGGGAGCCTGAGAACCGGCTACCACATCTAAGGAAGGCAGCAGGCGCGCAAATTACC
<i>Prorocentrum</i> sp.	GAGAGGGAGCCTGAGAACCGGCTACCACATCTAAGGAAGGCAGCAGGCGCGCAAATTACC
AJ415519	GAGAGGGAGCCTGAGAACCGGCTACCACATCTAAGGAAGGCAGCAGGCGCGCAAATTACC
Y16239	GAGAGGGAGCCCGAGACATGGCTTACCATCTAAGGAAGGCAGCAGGCGCGCAAATTACC
Y16233	GAGAGGGAGCCTGAGAACCGGCTTACCATCTAAGGAAGGCAGCAGGCGCGCAAATTACC
Y16237	GAGAGGGAGCCTGAGAACCGGCTTACCATCTAAGGAAGGCAGCAGGCGCGCAAATTACC
Y16234	GAGAGGGAGCCTGAGAACCGGCTTACCATCTAAGGAAGGCAGCAGGCGCGCAAATTACC
Y16235	GAGAGGGAGCCTGAGAACCGGCTTACCATCTAAGGAAGGCAGCAGGCGCGCAAATTACC
Y16236	GAGAGGGAGCCTGAGAACCGGCTTACCATCTAAGGAAGGCAGCAGGCGCGCAAATTACC
	***** * ***** ***** ***** ***** *****
AJ415520	CAATCCTGACACAGGGAGGTAGTGACAAGAAATAACAATACAGGGCATAATTGTCTTGTA
Y16238	CAATCCTGACACAGGGAGGTAGTGACAAGAAATAACAATACAGGGCATAATTGTCTTGTA
Y16232	CAATCCTGACACAGGGAGGTAGTGACAAGAAATAACAATACAGGGCATAATTGTCTTGTA
<i>Prorocentrum</i> sp.	CAATCCTGACACAGGGAGGTAGTGACAAGAAATAACAATACAGGGCATAATTGTCTTGTA
AJ415519	CAATCCTGACACAGGGAGGTAGTGACAAGAAATAACAATACAGGGCATAATTGTCTTGTA
Y16239	CAATCCTGACACAGGGAGGTAGTGACAAGAAATAACAATACAGGGCATAATTGTCTTGTA
Y16233	CAATCCTGACACAGGGAGGTAGTGACAAGAAATAACAATACAGGGCATAATTGTCTTGTA
Y16237	CAATCCTGACACAGGGAGGTAGTGACAAGAAATAACAATACAGGGCATAATTGTCTTGTA
Y16234	CAATCCTGACACAGGGAGGTAGTGACAAGAAATAACAATACAGGGCATAATTGTCTTGTA
Y16235	CAATCCTGACACAGGGAGGTAGTGACAAGAAATAACAATACAGGGCATAATTGTCTTGTA
Y16236	CAATCCTGACACAGGGAGGTAGTGACAAGAAATAACAATACAGGGCATAATTGTCTTGTA
	***** * ***** ***** ***** *****
AJ415520	ATTGGAATGAGTAGAATTAAATCCCTTACGAGTACCAATTGGAGGGCAAGTCTGGTGC
Y16238	ATTGGAATGAGTAGAATTAAATCCCTTACGAGTACCAATTGGAGGGCAAGTCTGGTGC
Y16232	ATTGGAATGAGTAGAATTAAATCCCTTACGAGTACCAATTGGAGGGCAAGTCTGGTGC
<i>Prorocentrum</i> sp.	ATTGGAATGAGTAGAATTAAATCCCTTACGAGTACCAATTGGAGGGCAAGTCTGGTGC
AJ415519	ATTGGAATGAGTAGAATTAAATCCCTTACGAGTACCAATTGGAGGGCAAGTCTGGTGC

AJ415520	ATAGGGATAGTGGGGGCATTGCTTAACTGTCAGAGGTGAAATTCTGGATTGTTA
Y16238	ATAGGGATAGTGGGGCATTGCTTAACTGTCAGAGGTGAAATTCTGGATTGTTA
Y16232	ATAGGGATAGTGGGGCATTGCTTAACTGTCAGAGGTGAAATTCTGGATTGTTA
Prorocentrum sp.	ATAGGGATAGTGGGGCATTGCTTAACTGTCAGAGGTGAAATTCTGGATTGTTA
AJ415519	ATAGGGATAGTGGGGCATTGCTTAACTGTCAGAGGTGAAATTCTGGATTGTTA
Y16239	ATAGGGATAGTGGGGCATTGCTTAACTGTCAGAGGTGAAATTCTGGATTGTTA
Y16233	ATAGGGATAGTGGGGCATTGCTTAACTGTCAGAGGTGAAATTCTGGATTGTTA
Y16237	ATAGGGATAGTGGGGCATTGCTTAACTGTCAGAGGTGAAATTCTGGATTGTTA
Y16234	ATAGGGATAGTGGGGTATTGACTGTCAGAGGTGAAATTCTGGATTGTTCA
Y16235	ATAGGGATAGTGGGGTATTGACTGTCAGAGGTGAAATTCTGGATTGTTCA
Y16236	ATAGGGATAGTGGGGTATTGACTGTCAGAGGTGAAATTCTGGATTGTTCA
	***** * * * *****
AJ415520	AAGACGGACTACTCGCAAAGCATTGCCAAGGATGTTTCAATTGATCAAGAACGAAAGTT
Y16238	AAGACGGACTACTCGCAAAGCATTGCCAAGGATGTTTCAATTGATCAAGAACGAAAGTT
Y16232	AAGACGGACTACTCGCAAAGCATTGCCAAGGATGTTTCAATTGATCAAGAACGAAAGTT
Prorocentrum sp.	AAGACGGACTACTCGCAAAGCATTGCCAAGGATGTTTCAATTGATCAAGAACGAAAGTT
AJ415519	AAGACGGACTACTCGCAAAGCATTGCCAAGGATGTTTCAATTGATCAAGAACGAAAGTT
Y16239	AAGACGGACAATCGCAAAGCATTGCCAAGGATGTTTCAATTGATCAAGAACGAAAGTT
Y16233	AAGATGGACTACTCGCAAAGCATTGCCAAGGATGTTTCAATTGATCAAGAACGAAAGTT
Y16237	AAGACGAACTACTCGCAAAGCATTGCCAAGGATGTTTCAATTGATCAAGAACGAAAGTT
Y16234	AAGACGAACCAATCGCAAAGCATTGCCAAGGATGTTTCAATTGATCAAGAACGAAAGTT
Y16235	AAGACGAACCAATCGCAAAGCATTGCCAAGGATGTTTCAATTGATCAAGAACGAAAGTT
Y16236	AAGACGAACCAATCGCAAAGCATTGCCAAGGATGTTTCAATTGATCAAGAACGAAAGTT
	***** * * * *****
AJ415520	AGGGGATCGAAGACGATCAGATAACCGCTCTAGCTTAACCATAAACCATGCCGACTAGAG
Y16238	AGGGGATCGAAGACGATCAGATAACCGCTCTAGCTTAACCATAAACCATGCCGACTAGAG
Y16232	AGGGGATCGAAGACGATCAGATAACCGCTCTAGCTTAACCATAAACCATGCCGACTAGAG
Prorocentrum sp.	AGGGGATCGAAGACGATCAGATAACCGCTCTAGCTTAACCATAAACCATGCCGACTAGAG
AJ415519	AGGGGATCGAAGACGATCAGATAACCGCTCTAGCTTAACCATAAACCATGCCGACTAGAG
Y16239	AGGGGATCGAAGACGATCAGATAACCGCTCTAGCTTAACCATAAACCATGCCGACTAGAG
Y16233	AGGGGATCGAAGACGATCAGATAACCGCTCTAGCTTAACCATAAACCATGCCGACTAGAG
Y16237	AGGGGATCGAAGACGATCAGATAACCGCTCTAGCTTAACCATAAACCATGCCGACTAGAG
Y16234	AGGGGATCGAAGACGATCAGATAACCGCTCTAGCTTAACCATAAACCATGCCGACTAGAG
Y16235	AGGGGATCGAAGACGATCAGATAACCGCTCTAGCTTAACCATAAACCATGCCGACTAGAG
Y16236	AGGGGATCGAAGACGATCAGATAACCGCTCTAGCTTAACCATAAACCATGCCGACTAGAG
	***** * * * *****
AJ415520	ATTGGAGGTCGTTATTACGACTCCTTCAGCACCTTATGAGAAATCAAAGTCTTGGG
Y16238	ATTGGAGGTCGTTATTACGACTCCTTCAGCACCTTATGAGAAATCAAAGTCTTGGG
Y16232	ATTGGAGGTCGTTATTACGACTCCTTCAGCACCTTATGAGAAATCAAAGTCTTGGG
Prorocentrum sp.	ATTGGAGGTCGTTATTACGACTCCTTCAGCACCTTATGAGAAATCAAAGTCTTGGG
AJ415519	ATTGGAGGTCGTTATTACGACTCCTTCAGCACCTTATGAGAAATCAAAGTCTTGGG
Y16239	ATTGGAGGTCGTTATTACGACTCCTTCAGCACCTTATGAGAAATCAAAGTCTTGGG
Y16233	ATTGGAGGTCGTTATTACGACTCCTTCAGCACCTTATGAGAAATCAAAGTCTTGGG
Y16237	ATTGGAGGTCGTTATTACGACTCCTTCAGCACCTTATGAGAAATCAAAGTCTTGGG
Y16234	ATTGGAGGTCGTTATTACGACTCCTTCAGCACCTTATGAGAAATCAAAGTCTTGGG
Y16235	ATTGGAGGTCGTTATTACGACTCCTTCAGCACCTTATGAGAAATCAAAGTCTTGGG
Y16236	ATTGGAGGTCGTTATTACGACTCCTTCAGCACCTTATGAGAAATCAAAGTCTTGGG
	***** * * * *****
AJ415520	TTCCGGGGGAGATGGTCGAAGGCTGAAACCTTAAAGGAATTGACGGAAGGGCACCACC
Y16238	TTCCGGGGGAGATGGTCGAAGGCTGAAACCTTAAAGGAATTGACGGAAGGGCACCACC
Y16232	TTCCGGGGGAGATGGTCGAAGGCTGAAACCTTAAAGGAATTGACGGAAGGGCACCACC
Prorocentrum sp.	TTCCGGGGGAGATGGTCGAAGGCTGAAACCTTAAAGGAATTGACGGAAGGGCACCACC
AJ415519	TTCCGGGGGAGATGGTCGAAGGCTGAAACCTTAAAGGAATTGACGGAAGGGCACCACC
Y16239	TTCCGGGGGAGATGGTCGAAGGCTGAAACCTTAAAGGAATTGACGGAAGGGCACCACC
Y16233	TTCCGGGGGAGATGGTCGAAGGCTGAAACCTTAAAGGAATTGACGGAAGGGCACCACC
Y16237	TTCCGGGGGAGATGGTCGAAGGCTGAAACCTTAAAGGAATTGACGGAAGGGCACCACC
Y16234	TTCCGGGGGAGATGGTCGAAGGCTGAAACCTTAAAGGAATTGACGGAAGGGCACCACC
Y16235	TTCCGGGGGAGATGGTCGAAGGCTGAAACCTTAAAGGAATTGACGGAAGGGCACCACC
Y16236	TTCCGGGGGAGATGGTCGAAGGCTGAAACCTTAAAGGAATTGACGGAAGGGCACCACC
	***** * * * *****
AJ415520	AGGAGTGGAGCCTGCGGCTTAATTGACTCAACACGGGG-AAACTTACCAAGGTCCAGACA
Y16238	AGGAGTGGAGCCTGCGGCTTAATTGACTCAACACGGGG-AAACTTACCAAGGTCCAGACA
Y16232	AGGAGTGGAGCCTGCGGCTTAATTGACTCAACACGGGG-AAACTTACCAAGGTCCAGACA
Prorocentrum sp.	AGGAGTGGAGCCTGCGGCTTAATTGACTCAACACGGGG-AAACTTACCAAGGTCCAGACA
AJ415519	AGGAGTGGAGCCTGCGGCTTAATTGACTCAACACGGGG-AAACTTACCAAGGTCCAGACA
Y16239	AGGAGTGGAGCCTGCGGCTTAATTGACTCAACACGGGG-AAACTTACCAAGGTCCAGACA
Y16233	AGGAGTGGAGCCTGCGGCTTAATTGACTCAACACGGGG-AAACTTACCAAGGTCCAGACA
Y16237	AGGAGTGGAGCCTGCGGCTTAATTGACTCAACACGGGG-AAACTTACCAAGGTCCAGACA

Y16234	AGGAGTGGAGCCTGCGGCCCTAAATTGACTCAACACGGGG-AAACTTACCAAGGTCCGGACA
Y16235	AGGAGTGGAGCCTGCGGCCCTAAATTGACTCAACACGGGG-AAACTTACCAAGGTCCGGACA
Y16236	AGGAGTGGAGCCTGCGGCCCTAAATTGACTCAACACGGGG-AAACTTACCAAGGTCCGGACA

AJ415520	TAGTAAGGATTGACAGATTGATAGCTTCTTGATTCTATGGGTGGTGGTGCATGGCCG
Y16238	TAGTAAGGATTGACAGATTGATAGCTTCTTGATTCTATGGGTGGTGGTGCATGGCCG
Y16232	TAGTAAGGATTGACAGATTGATAGCTTCTTGATTCTATGGGTGGTGGTGCATGGCCG
<i>Prorocentrum</i> sp.	TAGTAAGGATTGACAGATTGATAGCTTCTTGATTCTATGGGTGGTGGTGCATGGCCG
AJ415519	TAGTAAGGATTGACAGATTGATAGCTTCTTGATTCTATGGGTGGTGGTGCATGGCCG
Y16239	TAGTAGGATTGACAGATTGATAGCTTCTTGATTCTATGGGTGGTGGTGCATGGCCG
Y16233	TAGTAAGGATTGACAGATTGATAGCTTCTTGATTCTATGGGTGGTGGTGCATGGCCG
Y16237	TAGTAAGGATTGACAGATTGATAGCTTCTTGATTCTATGGGTGGTGGTGCATGGCCG
Y16234	TAGTAAGGATTGACAGATTGACAGCTTCTTGATTCTATGGGTGGTGGTGCATGGCCG
Y16235	TAGTAAGGATTGACAGATTGACAGCTTCTTGATTCTATGGGTGGTGGTGCATGGCCG
Y16236	TAGTAAGGATTGACAGATTGACAGCTTCTTGATTCTATGGGTGGTGGTGCATGGCCG

AJ415520	TTCTTAGTTGGTGGAGTGATTGTCTGGTTAACCGGAAACGAGACCTAACCTG
Y16238	TTCTTAGTTGGTGGAGTGATTGTCTGGTTAACCGGAAACGAGACCTAACCTG
Y16232	TTCTTAGTTGGTGGAGTGATTGTCTGGTTAACCGGAAACGAGACCTAACCTG
<i>Prorocentrum</i> sp.	TTCTTAGTTGGTGGAGTGATTGTCTGGTTAACCGGAAACGAGACCTAACCTG
AJ415519	TTCTTAGTTGGTGGAGTGATTGTCTGGTTAACCGGAAACGAGACCTAACCTG
Y16239	TTCTTAGTTGGTGGAGTGATTGTCTGGTTAACCGGAAACGAGACCTAACCTG
Y16233	TTCTTAGTTGGTGGAGTGATTGTCTGGTTAACCGGAAACGAGACCTAACCTG
Y16237	TTCTTAGTTGGTGGAGTGATTGTCTGGTTAACCGGAAACGAGACCTAACCTG
Y16234	TTCTTAGTTGGTGGAGTGATTGTCTGGTTAACCGGAAACGAGACCTAACCTG
Y16235	TTCTTAGTTGGTGGAGTGATTGTCTGGTTAACCGGAAACGAGACCTAACCTG
Y16236	TTCTTAGTTGGTGGAGTGATTGTCTGGTTAACCGGAAACGAGACCTAACCTG

AJ415520	CTAAATAGTTACCGTAACCTCGGTTACGTGGGCAACTCTTAGAGGGACTTTG-CGTGT
Y16238	CTAAATAGTTACCGTAACCTCGGTTACGTGGGCAACTCTTAGAGGGACTTTG-CGTGT
Y16232	CTAAATAGTTACCGTAACCTCGGTTACGTGGGCAACTCTTAGAGGGACTTTG-CGTGT
<i>Prorocentrum</i> sp.	CTAAATAGTTACCGTAACCTCGGTTACGTGGGCAACTCTTAGAGGGACTTTG-CGTGT
AJ415519	CTAAATAGTTACCGTAACCTCGGTTACGTGGGCAACTCTTAGAGGGACTTTG-CGTGT
Y16239	CTAAATAGCTACACATAACTCCAGTCATGGGCAAGCTTCTTAGAGGGACTTTG-TGTGT
Y16233	CTAAATAGTTACATGTAATTCTGGTTATGGGCAACTCTTAGAGGGACTTTG-CGTGT
Y16237	CTAAATAGTTACCGTAACCTGGCTACGTGGGCAAGCTTCTTAGAGGGACTTTGCTGTGT
Y16234	CTGAATAGCTACATCTAACCTCGGTTACATGGGCAAGCTTCTTAGAGGGACTTTGCTGTGT
Y16235	CTGAATAGCTACATCTAACCTCGGTTACATGGGCAAGCTTCTTAGAGGGACTTTGCTGTGT
Y16236	CTGAATAGCTACATCTAACCTCGGTTACATGGGCAAGCTTCTTAGAGGGACTTTGCTGTGT

AJ415520	CTAACGCAAGGAAGTTGAGGAATAACAGGTCTGTGATGCC
Y16238	CTAACGCAAGGAAGTTGAGGAATAACAGGTCTGTGATGCC
Y16232	CTAACGCAAGGAAGTTGAGGAATAACAGGTCTGTGATGCC
<i>Prorocentrum</i> sp.	CTAACGCAAGGAAGTTGAGGAATAACAGGTCTGTGATGCC
AJ415519	CTAACGCAAGGAAGTTGAGGAATAACAGGTCTGTGATGCC
Y16239	CTAACGCAAGGAAGTTGAGGAATAACAGGTCTGTGATGCC
Y16233	CTAACGCAAGGAAGTTGAGGAATAACAGGTCTGTGATGCC
Y16237	CTAACGCAAGGAAGTTGAGGAATAACAGGTCTGTGATGCC
Y16234	CTAACGCAAGGAAGTTGAGGAATAACAGGTCTGTGATGCC
Y16235	CTAACGCAAGGAAGTTGAGGAATAACAGGTCTGTGATGCC
Y16236	CTAACGCAAGGAAGTTGAGGAATAACAGGTCTGTGATGCC

Hình 6. So sánh trình tự nucleotit của đoạn gien 18S rDNA của *Prorocentrum* sp. với 10 trình tự của đoạn gien này của 9 loài *Prorocentrum* khác: *P. minimum* có mã số tại Ngân hàng gien quốc tế là AJ 415520 và Y16238; *P. mexicanum*-Y16232; *P. micans*-AJ415519; *P. emarginatum*-Y16239; *P. panamensis*-Y16233; *P. concavum*-Y16237; *P. arenarium*-Y16234; *P. lima*-Y16235; *P. maculosum*-Y16236.

AF208245	GCACGCATCCAATAGATTCACTGTGAACTCGA-ACTCGTGAGGGTCTGGGTTGGGGTGGAA
<i>Prorocentrum</i> sp.	GCACGCATCCAATCGATTCACTGTGAACGAAC-TTTTGAGGGTCTGGGTGGGGTGGAA
AF208244	GCACGCATCCATTGAATCATTGTGAACAACA-GTTGGTGAGGCTCTGGGTGGGGATGGA
AF352371	GCACGCATCCATTGAATCATTGTGAACAACA-GTTGGTGAGGCTCTGGGTGGGGATGGA
AF352370	GCACGCATCCATTGAATCATTGTGAACAACA-GTTGGTGAGGCTCTGGGTGGGGATGGA
AF208246	GCACGCATCCAACCAAATCACCGTGAAATAACACGTTGAGGCTCTGGGTGGGGATGGA

AF208245	GATAGCATCAATGCCCTTATGCAGGCCTCGAGGGCAGTAAGCCAGGATTGGACTGTCTT
<i>Prorocentrum</i> sp.	GATTGCATCAATCCCCTTATGCAGGCCTCGAGGGCAGTAAGCCAGGCTTGATTGTCTT

Hình 7. So sánh trình tự nucleotit của đoạn gien ITS1-5,8S-ITS2 của *Prorocentrum* sp. với 5 trình tự nucleotit của đoạn gien này của 3 loài khác: *P. micans* với mã số ký hiệu tại Ngân hàng gien quốc tế là AF208245, *P. minimum*-AF208244, AF352371, AF352370 và *P. triestinum*-AF208246.

Bảng 2

Tỷ lệ % tương đồng (ma trận tam giác trên) và khoảng cách di truyền (ma trận tam giác dưới) của đoạn gien 18S rDNA giữa các loài trong chi *Prorocentrum*

Khoảng cách di truyền	Tỷ lệ % tương đồng											
	1	2	3	4	5	6	7	8	9	10	11	
1	99,6	99,8	99,9	96,4	94,3	94,0	94,3	96,7	99,6	95,7	1	AJ415519
2	0,4		99,6	99,7	96,4	94,2	93,9	99,2	96,6	100	95,6	2
3	0,2	0,4		99,9	96,4	94,1	93,8	94,1	96,5	99,6	95,6	3
4	0,1	0,3	0,1		96,4	94,2	94,0	94,2	96,5	99,7	95,7	4
5	3,7	3,7	3,7	3,6		92,9	92,9	92,7	94,2	96,3	92,8	5
6	5,8	5,9	6,1	5,9	7,3		99,9	99,0	94,3	94,2	91,8	6
7	6,0	6,1	6,2	6,1	7,2	0,1		98,5	93,9	93,8	91,8	7
8	5,9	5,9	6,1	6,0	7,5	1,0	1,1		94,2	94,2	92,0	8
9	3,3	3,4	3,5	3,4	6,0	5,9	6,1	5,9		96,6	93,6	9
10	0,4	0,0	0,4	0,3	3,7	5,9	6,1	5,9	3,4		95,6	10
11	4,4	4,6	4,6	4,5	7,6	8,9	8,8	8,7	6,9	4,6		11
	1	2	3	4	5	6	7	8	9	10	11	

Bảng 3

Tỷ lệ % tương đồng (ma trận tam giác trên) và khoảng cách di truyền (ma trận tam giác dưới) của đoạn gien ITS1-5,8S-ITS2 giữa các loài trong chi *Prorocentrum*

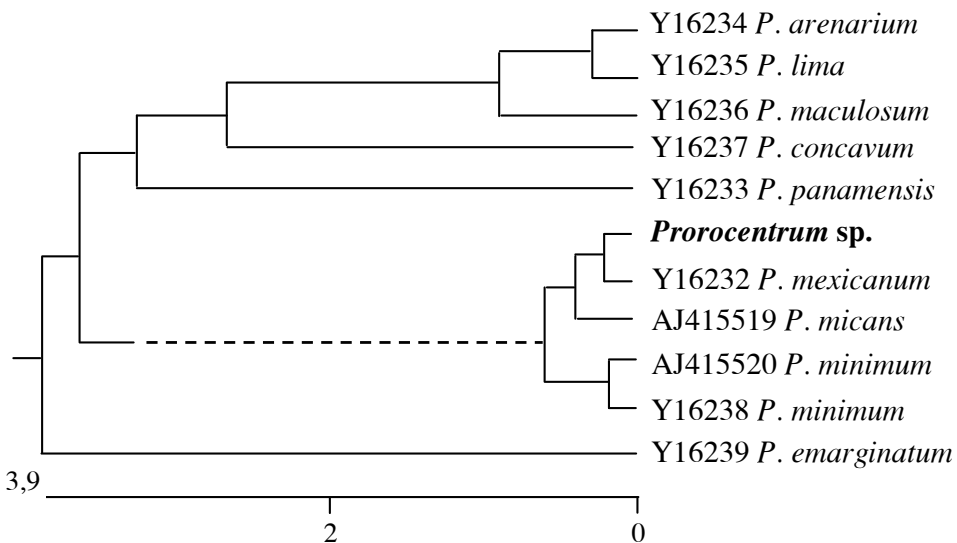
Khoảng cách di truyền	Tỷ lệ % tương đồng							
	1	2	3	4	5	6		
1		80,3	79,6	99,3	99,5	79,9	1	AF208244
2	25,2		77,4	80,1	79,6	91,5	2	AF208245
3	28,2	30,9		79,2	79,0	77,4	3	AF208246
4	0,7	24,9	28,5		99,1	79,9	4	AF352370
5	0,5	25,7	28,8	0,9		79,1	5	AF352371
6	24,5	10,3	32,5	24,5	25,4		6	<i>Prorocentrum</i> sp.
	1	2	3	4	5	6		

6. Xây dựng cây phát sinh chủng loại của một số loài *Prorocentrum*

Dựa vào khoảng cách di truyền của đoạn gien 18S rDNA từ một số loài *Prorocentrum* khác nhau và bằng chương trình DNASTAR để tính toán khả năng lớn nhất có thể xảy ra, chúng tôi xây dựng cây phát sinh chủng loại của các loài *Prorocentrum* này (hình 8). Cây phát sinh chủng loại cho thấy các loài này được chia thành 2 nhóm: nhóm thứ nhất có duy nhất 1 loài là *P. emarginatum* và nhóm thứ 2 gồm các loài còn lại; trong đó, lại được chia ra làm 2 nhóm nhỏ: nhóm nhỏ thứ nhất gồm các loài: *P. aenarium*, *P. lima*, *P. maculosum*, *P. concavum* và *P. panamensis* và nhóm nhỏ thứ 2 gồm: *Prorocentrum* sp., *P. mexicanum*, *P. micans* và *P. minimum*.

Prorocentrum sp. nằm ngay cạnh loài *P. mexicanum* trong cây phát sinh chủng loại, có hệ số đồng dạng di truyền cao nhất 99,9% và chúng chỉ có khác biệt nhau ở 1 nucleotit khi so sánh trình tự nucleotit của đoạn gien 18S rDNA. Sự khác biệt ở 1 nucleotit này có thể chỉ là sự khác biệt ở trong cùng loài *P. mexicanum*. Như vậy, *Prorocentrum* sp. có thể là loài *Prorocentrum mexicanum* và kết quả phân loại này cũng phù hợp với việc phân loại dựa vào các đặc điểm hình thái mà chúng tôi đã đề cập ở trên.

Sau khi đã xác định được *Prorocentrum* sp. là loài *Prorocentrum mexicanum*, trình tự nucleotit của đoạn gien ITS1-5,8S-ITS2 của loài *Prorocentrum mexicanum* này đã được đăng ký tại Ngân hàng gien quốc tế, với số đăng ký được cấp là AY 886 763.



Hình 8. Cây phát sinh chủng loại của một số loài *Prorocentrum* dựa trên so sánh trình tự nucleotit của đoạn gien 18S rDNA.

III. KẾT LUẬN

1. Chúng tôi đã phân lập, tách dòng và đọc thành công trình tự nucleotit của các đoạn gien 18S rDNA và ITS1-5,8S-ITS2 của loài *Prorocentrum* sp. phân lập được tại Hải Phòng.

2. Dựa trên các đặc điểm hình thái và so sánh trình tự nucleotit của các đoạn gien 18S rDNA và ITS1-5,8S-ITS2 của loài *Prorocentrum* sp. với các trình tự tương ứng của các *Prorocentrum* khác đã được công bố tại Ngân hàng gien quốc tế, đã cho phép chúng tôi xác định loài tảo này là *Prorocentrum mexicanum*.

3. Trình tự nucleotit của đoạn gien ITS1-5,8S-ITS2 của loài *Prorocentrum mexicanum* thu được tại Hải Phòng có số đăng ký tại Ngân hàng gien quốc tế là AY 886 763.

TÀI LIỆU THAM KHẢO

1. Altamirano R. C. and Beltran A. P. S., 2003: J. Phycol., 39: 221-225.
2. Asai R. et al., 2003: Phycological Research, 51: 118-125.
3. Casas M. S. et al., 2002: Diseases of Aquatic Organisms, 50: 51-65.
4. Đặng Diễm Hồng và cs., 2004: Tuyển tập báo cáo khoa học Hội nghị khoa học “Biển Đông 2002”: 424-436. Nha Trang.
5. Đặng Diễm Hồng và cs., 2002: Tạp chí Khoa học và Công nghệ, 40: 161-167.
6. Đặng Đình Kim, Đặng Hoàng Phước Hiền, 1999: Công nghệ sinh học Vi tảo. Nxb. Nông nghiệp, Hà Nội.
7. Faust M. A., 1997: J. Phycol., 33: 851-858.
8. Nguyễn Đức Bách và cs., 2003: Tạp chí Sinh học, 25(3): 1-5.
9. Taylor F. J. R., 1993: The species problem and its impact on harmful phytoplankton studies, with emphasis on dinoflagellate morphology. In: T. J. Smayda and Y. Shimizu (eds), Toxic Phytoplankton Blooms in the Sea: 81-86. New York, Elsevier Science Inc.
10. Takano Y. and Horiguchi T., 2004: Phycological Research, 52: 107-116.
11. Witek B., Plinski M., 2000: Oceanologia, 41(2): 29-36.
12. Grzebyk D. et al., 1998: J. Phycol., 34: 1055-1068.

TAXONOMY OF *PROROCENTRUM* SP. SAMPLED FROM HAIPHONG CITY BY BASING ON THE NUCLEOTIDE SEQUENCES OF THE 18S rDNA AND ITS1-5.8S-ITS2 GENE FRAGMENTS

DANG DIEM HONG, HOANG MINH HIEN, HOANG LAN ANH, CHU VAN THUOC

SUMMARY

The nucleotide sequences of the 18S rDNA and ITS1-5.8S-ITS2 gene fragments were determined in *Prorocentrum* sp., which was collected from Haiphong city, Vietnam in 2004. The length of the 18S rDNA and ITS1-5.8S-ITS2 gene fragments in *Prorocentrum* sp. were 1059 bp and 657bp, respectively. By comparing the *Prorocentrum* sp. sequence data with the published sequences of *P. lima*, *P. arenarium*, *P. maculosum*, *P. concavum*, *P. panamensis*, *P. micans*, *P. minimum*, *P. mexicanum*, *P. emarginatum* and *P. triestinum* in the GeneBank and constructing the phylogenetic tree, the phylogenetic relationships between *Prorocentrum* sp. and the ten other *Prorocentrum* species were established. The classification of *Prorocentrum* species based on the 18S rRNA gene coincided with the classification based on the ITS1-5.8S-ITS2 gene. The results showed that the genetic distances between the species within these two groups were low. The similar of these *Prorocentrum* species was 94% and they were divided into two groups. The first group included *P. emarginatum*. The second group included other species with 2 subgroups; the first subgroup included *P. arenarium*, *P. lima*, *P. maculosum*, *P. concavum* and *P. panamensis* and the second subgroup included *Prorocentrum* sp., *P. mexicanum*, *P. micans* and *P. minimum*. Among these species, *Prorocentrum* sp. had a close phylogenetic relationship with *P. mexicanum* (99.9%). The morphological characteristics of *Prorocentrum* sp. also showed a relatively high similarity with *P. mexicanum*. It has been shown that *Prorocentrum* sp. collected from Haiphong belonged to the species *P. mexicanum*. The nucleotide sequence of the ITS1-5.8S-ITS2 gene fragments of *P. mexicanum* (collected from Haiphong) was submitted to the GeneBank with accession number-AY886 763.

Ngày nhận bài: 11-05-2005